

神戸大学工学部 正員 軽部大藏

1 予え本 高速で走行する車輌を支える路盤が噴泥現象をおこして破壊することがある。本研究の当初の目的はこの現象を実験的に再現することにあつたが、この試みは成功しなかつた。この論文では土槽内で錆固めた山土層の支持力の測定結果について述べる。

2 実験方法 実験装置は図-1に示すようである。試料土の山土は滋賀県の愛知川地より採取したもので、標準化された最大乾燥密度は $1.67 g/cm^3$ 、最適含水比は 21.2% 、粒径加積曲線は図-2のようである。2層地盤とするときに用いた碎石の粒径は $1 \sim 2 cm$ である。

土槽に山土を3層に分けて各層を錆固めながら深さ $20 cm$ まで入れた。このときの平均乾燥密度は $1.30 g/cm^3$ 、含水比は $16 \sim 17\%$ であった。山土だけの支持力試験(1層地盤)をするときには、この表面に載荷板をおいた。2層地盤をするときには、山土の表面に碎石を厚さ $5 cm$ に敷きつめた。また一部の実験では、これらの地盤の表面にジョロで注水して、地下水の深さが $5 cm$ となるようにして1日放置した。載荷は、静荷重の場合はジャッキによって1段階の増分 $30 kg$ 、時間5分で段階的に荷重を増加させる方法をとった。振動荷重の場合には2段階までは静荷重のみを加え、3段階目からは奇数段階は振動荷重を、偶数段階は静荷重をそれぞれ $30 kg$ 増加させた。

ただし注水した地盤の場合は増分荷重を小さくした。振動荷重の大きさは、土層が振動変位をおこさないと仮定して計算から決定したものであるから、実際とはちがつているであろう。

3 測定結果 測定された載荷重～変位量の関係の一例を図-3に示す。土層が弾性的に挙動するならば、載荷板の変

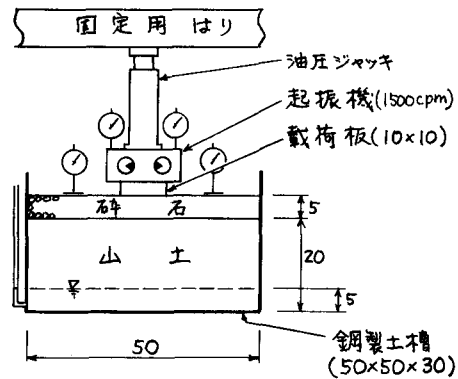


図-1 実験装置(数字の単位:cm)

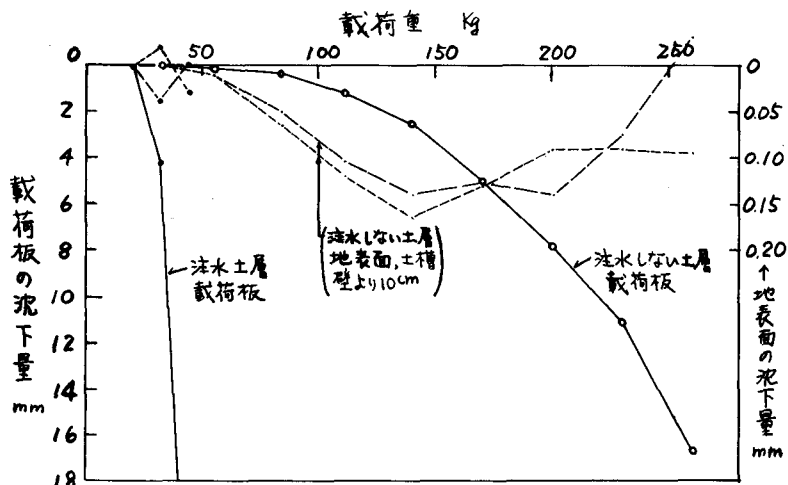
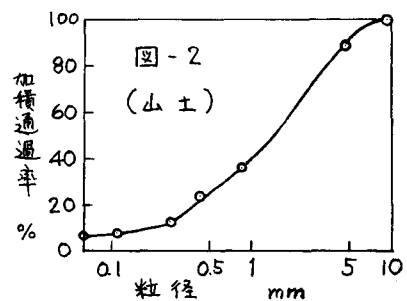


図-3 載荷重～変位の測定例(2層地盤、静荷重)

位と、任意の点の変位は比例関係にあるはずである。したがって、図-3において載荷板の変位曲線（実線）と地表面上で土槽壁から10cmの点（破線、測定点は2点）の変位曲線を比較すれば地盤の破壊荷重が推定できるはずである。しかし、この地表面における測定値は碎石の局部的な動きに影響されて実用にはならなかつた。そこで、支持力の一端の目安として載荷板が1cm沈下したときの荷重を支持力と定義した。表-1はこの定義による測定結果の一覧表である。

4 支持力におよぼす注水の影響 表-1の最下欄は、支持力におよぼす注水の影響を示すために上2欄の比をとったものである。2層地盤は水の影響を受けにくうこと、とくに振動荷重の場合この傾向がいちじるしいことがわかる。しかし、実験は1500cpmについてしか行なつていないのでこの結果は一般性を持たない。

この実験において、1層地盤の支持力が注水によって非常に大きく低下するのは、締固めエネルギーに比べて含水比が小さかつたために、粗粒土をとり多く細粒土の構造がランダムであつたものが、注水によって平行配列へ指向し不安定となるためであろう。土層の支持力はCBR試験や各種のセン断試験によって推定されているので、これらの試験が注水の影響を正確に反映するかを検討してみた。

まず含水比16~17%の山土についておこなつたCBR試験の結果は図-4に示すようであつて、乾燥密度1.30g/cm³における水浸CBRと非水浸CBRの比は0.54である。したがって土槽の実験結果ほどには水の影響を受けないことがわかる。次に初期乾燥密度1.30g/cm³、含水比16~17%でおこなつた一面セン断試験の結果を図-5に示す。図中に「注水」とあるのは、セン断箱に所定の空隙につめた試料の表面から注水し、その後重力排水を十分におこなつてから垂直荷重をかけてセン断をおこなつたものである。

表-1 沈下量1cmのときの荷重(Kg)

地盤の層数	1層地盤	2層地盤
載荷重の種類	静	振
地盤に注水した場合	18	155
注水しない場合	201	112
(注水/注水しない)	0.09	0.13
	0.16	0.37

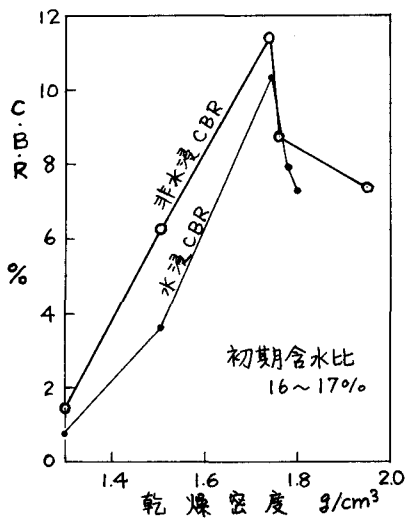


図-4 山土のCBR値

図からわかるように強度定数は注水の影響をほとんど受けない。これは、垂直荷重によってあらかじめ粗粒土が安定な構造となってからセン断を受けるためと思われる。末筆ながら子川氏(香川県)、桑原氏(新井組)の御協力に感謝する。

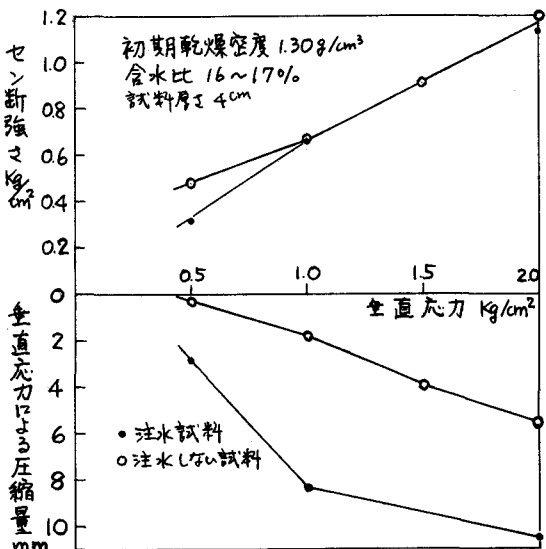


図-4 山土の一面セン断試験